

## МОДЕЛЬ ДЕЙТРОНА В ПІДХОДІ ДІРАКА–БРЕЙТА З ПРЯМОЮ ВЗАЄМОДІЄЮ

І. В. Сименюк, О. І. Туровський

*Інститут теоретичної фізики ім. М. М. Боголюбова НАН України  
вул. Метрологічна, 14б, Київ, 03143, Україна*

(Отримано 31 березня 2003 р.)

Для двох релятивістських нуклонів з прямою потенціальною взаємодією отримано парціальні радіальні рівняння типу Шредингера–Брейта другого порядку для триплетного спінового стану. Для розривних потенціалів встановлено нові співвідношення неперервності хвильових функцій. У досліджуваній релятивістській моделі з прямою взаємодією, крім центральної, наявні ще тензорна та спин-орбітальна взаємодії, які мають релятивістську природу. Знайдено точні розв'язки для триплетного стану двох нуклонів з потенціалами у вигляді прямокутних ям. На основі триплетних релятивістських рівнянь з потенціальними функціями у формі прямокутних ям побудовано модель основного стану дейтрона й отримано узгоджене пояснення основних експериментальних параметрів дейтрона.

**Ключові слова:** рівняння Дірака–Брейта, тензорна та спин-орбітальна взаємодії, релятивістський дейтрон, точні розв'язки, квадрупольний момент, імовірність  $D$ -стану, структурна функція.

PACS number(s): 03.65.Ge, 03.65.Pm, 21.30.–x, 21.45.+v

### I. ВСТУП

Дослідження двонуклонної задачі розсіяння в широкому енергетичному інтервалі та зв'язаного стану дейтрона з урахуванням реалістичної взаємодії залишається актуальною й досить складною проблемою (див. побудову сучасних ядерних потенціалів [1–4]). Аналіз задачі двох нуклонів ускладнюється доконечністю виконувати громіздкі чисельні розрахунки для одночасного опису різноманітних характеристик дейтрона та багатьох фаз розсіяння як при малих, так і високих енергіях. Щобільше, якщо розглядати ядерні системи не на феноменологічному рівні, то для середніх і високих енергій можуть стати суттєвими релятивістські ефекти. Використання релятивістських підходів до ядерних систем (і багаточастинкових систем іншої природи) мають певні успіхи і надалі є актуальною проблемою в задачах ядерної фізики (див., наприклад, [5–9]). У підходах з послідовним урахуванням релятивістських ефектів у двонуклонних ядерних задачах є можливим описати з єдиного погляду систему двох нуклонів як для зв'язаного стану, так і для розсіяння в синглетному та триплетних спінових станах.

У цій статті в підході Дірака–Брейта [10] релятивістської теорії прямих взаємодій розглянуто модель двох нуклонів у триплетному стані. Сформульовано рівняння типу Шредингера–Брейта у всіх спінових станах (для синглету формулювання рівняння й дослідження його розв'язків зроблено в [11,12]). Рівняння в синглеті та триплеті не є незалежними, а зв'язані між собою через “потенціальні” функції. Хвильове рівняння для триплетного стану, крім центральної, містить ще й спин-орбітальну та тензорну взаємодії,

які мають релятивістську природу. Для триплетного спінового стану  ${}^3S_1 + {}^3D_1$  знайдено систему двох зв'язаних радіальних рівнянь, яка допускає для “потенціалів” у формі прямокутних ям аналітичний розв'язок. На основі сформульованої системи знайдено хвильові функції та побудовано модель основного стану дейтрона з “потенціалами” у вигляді прямокутних ям та описано основні спостережувані характеристики дейтрона.

### II. ФОРМУЛЮВАННЯ ХВИЛЬОВИХ РІВНЯНЬ

Стационарне рівняння Дірака для двох нуклонів у системі центра мас з масами  $m_1$  і  $m_2$  та з “потенціалом” прямої взаємодії  $V$  має вигляд ( $\hbar = c = 1$ )

$$\left[ (\alpha_1 \mathbf{p} + \beta_1 m_1) + (-\alpha_2 \mathbf{p} + \beta_2 m_2) + V \right] \Psi = E \Psi. \quad (1)$$

“Потенціал”  $V$  є скаляром за матрицями Дірака  $\alpha_j, \beta_j$  першої та другої частинок і містить чотири сферично-симетричні компоненти: векторну  $V_V(r)$ , скалярну  $V_S(r)$ , псевдоскалярну  $V_P(r)$  та четверту компоненту  $V_0(r)$

$$V = (1 - \alpha_1 \alpha_2) V_V + \beta_1 \beta_2 V_S + \alpha_1 \beta_1 \alpha_2 \beta_2 V_P + V_0. \quad (2)$$

Повна хвильова функція  $\Psi$  залежить від відстані між нуклонами та спіну і може бути зображена у вигляді розкладу за станами частинка–античастинка

$$\Psi = \Psi_{+-}|+1\rangle|-1\rangle + \Psi_{-+}| -1\rangle|+1\rangle + \Psi_{++}|+1\rangle|+1\rangle + \Psi_{--}| -1\rangle|-1\rangle. \quad (3)$$

Рівняння Дірака (1) щодо таких станів утворює замкнуту систему диференціальних рівнянь першого порядку

$$\begin{aligned} (\boldsymbol{\sigma}_1 \mathbf{p}) \Psi_{-+} - (\boldsymbol{\sigma}_2 \mathbf{p}) \Psi_{+-} + (m_1 + m_2) \Psi_{++} + (V_0 + V_V + V_S) \Psi_{++} - (V_V - V_P) \boldsymbol{\sigma}_1 \boldsymbol{\sigma}_2 \Psi_{--} &= E \Psi_{++}, \\ (\boldsymbol{\sigma}_1 \mathbf{p}) \Psi_{+-} - (\boldsymbol{\sigma}_2 \mathbf{p}) \Psi_{-+} - (m_1 + m_2) \Psi_{--} + (V_0 + V_V + V_S) \Psi_{--} - (V_V - V_P) \boldsymbol{\sigma}_1 \boldsymbol{\sigma}_2 \Psi_{++} &= E \Psi_{--}, \\ (\boldsymbol{\sigma}_1 \mathbf{p}) \Psi_{--} - (\boldsymbol{\sigma}_2 \mathbf{p}) \Psi_{++} + (m_1 - m_2) \Psi_{+-} + (V_0 + V_V - V_S) \Psi_{+-} - (V_V + V_P) \boldsymbol{\sigma}_1 \boldsymbol{\sigma}_2 \Psi_{-+} &= E \Psi_{+-}, \\ (\boldsymbol{\sigma}_1 \mathbf{p}) \Psi_{++} - (\boldsymbol{\sigma}_2 \mathbf{p}) \Psi_{--} - (m_1 - m_2) \Psi_{-+} + (V_0 + V_V - V_S) \Psi_{-+} - (V_V + V_P) \boldsymbol{\sigma}_1 \boldsymbol{\sigma}_2 \Psi_{+-} &= E \Psi_{-+}. \end{aligned} \quad (4)$$

У свою чергу цю систему можна звести до вигляду

$$\begin{aligned} (\boldsymbol{\sigma}_1 - \boldsymbol{\sigma}_2) \mathbf{p} \Psi_{10} - (m_1 + m_2) \chi &= (E - \hat{V}_1(r)) \varphi, \\ (\boldsymbol{\sigma}_1 + \boldsymbol{\sigma}_2) \mathbf{p} \Psi_{00} - (m_1 + m_2) \varphi &= (E - \hat{V}_2(r)) \chi, \\ (\boldsymbol{\sigma}_1 - \boldsymbol{\sigma}_2) \mathbf{p} \varphi + (m_1 - m_2) \Psi_{00} &= (E - \hat{V}_3(r)) \Psi_{10}, \\ (\boldsymbol{\sigma}_1 + \boldsymbol{\sigma}_2) \mathbf{p} \chi + (m_1 - m_2) \Psi_{10} &= (E - \hat{V}_4(r)) \Psi_{00}, \end{aligned} \quad (5)$$

де введено нові хвильові функції

$$\begin{aligned} \Psi_{00} &= \frac{1}{\sqrt{2}} (\Psi_{+-} - \Psi_{-+}), \quad \varphi = \frac{1}{\sqrt{2}} (\Psi_{--} + \Psi_{++}), \\ \Psi_{10} &= \frac{1}{\sqrt{2}} (\Psi_{+-} + \Psi_{-+}), \quad \chi = \frac{1}{\sqrt{2}} (\Psi_{--} - \Psi_{++}). \end{aligned} \quad (6)$$

Функції  $\Psi_{00}$ ,  $\Psi_{10}$ ,  $\varphi$ ,  $\chi$  є функціями координат та спіну частинок, а нові потенціали  $\hat{V}_i(r)$  залежать від відносної відстані між нуклонами і враховують спіновою взаємодію

$$\begin{aligned} \hat{V}_1(r) &= V_0(r) + 4V_V(r) + V_S(r) - 3V_P(r) - (\boldsymbol{\sigma}_1 \boldsymbol{\sigma}_2 + 3)(V_V(r) - V_P(r)), \\ \hat{V}_2(r) &= V_0(r) - 2V_V(r) + V_S(r) + 3V_P(r) + (\boldsymbol{\sigma}_1 \boldsymbol{\sigma}_2 + 3)(V_V(r) - V_P(r)), \\ \hat{V}_3(r) &= V_0(r) + 4V_V(r) - V_S(r) + 3V_P(r) - (\boldsymbol{\sigma}_1 \boldsymbol{\sigma}_2 + 3)(V_V(r) + V_P(r)), \\ \hat{V}_4(r) &= V_0(r) - 2V_V(r) - V_S(r) - 3V_P(r) + (\boldsymbol{\sigma}_1 \boldsymbol{\sigma}_2 + 3)(V_V(r) + V_P(r)). \end{aligned} \quad (7)$$

Зауважимо, що систему (5) можна отримати одразу, якщо вибрати хвильову функцію  $\Psi$  у вигляді розкладу за синглетним та триплетним станами частинка-античастинка

$$\begin{aligned} \Psi &= \Psi_{00}|00\rangle + \Psi_{10}|10\rangle + \frac{1}{\sqrt{2}}(\varphi - \chi)|11\rangle \\ &+ \frac{1}{\sqrt{2}}(\varphi + \chi)|1-1\rangle. \end{aligned} \quad (8)$$

Якщо для спрощення покласти маси нуклонів однако-

вими  $m_1 = m_2 = m$ , тоді систему хвильових рівнянь (5) можна переписати так:

$$\begin{aligned} (\boldsymbol{\sigma}_1 - \boldsymbol{\sigma}_2) \mathbf{p} \Psi_{10} - 2m\chi &= (E - \hat{V}_1(r)) \varphi, \\ (\boldsymbol{\sigma}_1 + \boldsymbol{\sigma}_2) \mathbf{p} \Psi_{00} - 2m\varphi &= (E - \hat{V}_2(r)) \chi, \\ (\boldsymbol{\sigma}_1 - \boldsymbol{\sigma}_2) \mathbf{p} \varphi &= (E - \hat{V}_3(r)) \Psi_{10}, \\ (\boldsymbol{\sigma}_1 + \boldsymbol{\sigma}_2) \mathbf{p} \chi &= (E - \hat{V}_4(r)) \Psi_{00}, \end{aligned} \quad (9)$$

і після виключення функцій  $\Psi_{00}$  та  $\Psi_{10}$  отримаємо за-

мкнуту систему двох рівнянь другого порядку щодо функцій  $\varphi$  та  $\chi$

$$\begin{aligned} (\boldsymbol{\sigma}_1 - \boldsymbol{\sigma}_2)\mathbf{p} \frac{1}{E - \hat{V}_3(r)} (\boldsymbol{\sigma}_1 - \boldsymbol{\sigma}_2)\mathbf{p} \varphi - 2m\chi &= (E - \hat{V}_1(r))\varphi, \\ (\boldsymbol{\sigma}_1 + \boldsymbol{\sigma}_2)\mathbf{p} \frac{1}{E - \hat{V}_4(r)} (\boldsymbol{\sigma}_1 + \boldsymbol{\sigma}_2)\mathbf{p} \chi - 2m\varphi &= (E - \hat{V}_2(r))\chi. \end{aligned} \quad (10)$$

Система (10) може бути зведена до одного рівняння другого порядку стосовно функції  $\varphi$

$$\begin{aligned} \frac{1}{E - \hat{V}_2(r)} (\boldsymbol{\sigma}_1 + \boldsymbol{\sigma}_2)\mathbf{p} \frac{1}{E - \hat{V}_4(r)} (\boldsymbol{\sigma}_1 + \boldsymbol{\sigma}_2)\mathbf{p} (E - \hat{V}_1(r))\varphi \\ + (\boldsymbol{\sigma}_1 - \boldsymbol{\sigma}_2)\mathbf{p} \frac{1}{E - \hat{V}_3(r)} (\boldsymbol{\sigma}_1 - \boldsymbol{\sigma}_2)\mathbf{p} \varphi + \frac{4m^2}{E - \hat{V}_2(r)} \varphi &= (E - \hat{V}_1(r))\varphi \end{aligned} \quad (11)$$

чи щодо функції  $\chi$

$$\begin{aligned} \frac{1}{E - \hat{V}_1(r)} (\boldsymbol{\sigma}_1 - \boldsymbol{\sigma}_2)\mathbf{p} \frac{1}{E - \hat{V}_3(r)} (\boldsymbol{\sigma}_1 - \boldsymbol{\sigma}_2)\mathbf{p} (E - \hat{V}_2(r))\chi \\ + (\boldsymbol{\sigma}_1 + \boldsymbol{\sigma}_2)\mathbf{p} \frac{1}{E - \hat{V}_4(r)} (\boldsymbol{\sigma}_1 + \boldsymbol{\sigma}_2)\mathbf{p} \chi + \frac{4m^2}{E - \hat{V}_1(r)} \chi &= (E - \hat{V}_2(r))\chi. \end{aligned} \quad (12)$$

Кожне з цих рівнянь, як і система (10), описує релятивістську квантову систему двох нуклонів як у синглетному, так і в триплетному спінових станах. Рівняння (10), (11) та (12) є інваріантними щодо одночасної заміни знака повної енергії  $E$  та потенціалів  $\hat{V}_i(r)$ . Для заданого повного спіну рівняння (11) та (12) розщеплюються на одне скалярне рівняння другого порядку для синглету та систему замкнутих диференціальних рівнянь щодо триплетних спінових станів.

Із рівняння (11) для синглетного стану ( $S = 0$ ) отримуємо одне рівняння другого порядку щодо функції  $\varphi$  (див. [11, 12])

$$\mathbf{p} \frac{4}{E - V_3} \mathbf{p} \varphi + \frac{4m^2}{E - V_2} \varphi = (E - V_1)\varphi, \quad (13)$$

а з рівняння (12) — синглетне рівняння для  $\chi$

$$\begin{aligned} \frac{1}{E - V_1} \mathbf{p} \frac{4}{E - V_3} \mathbf{p} (E - V_2) \chi \\ + \frac{4m^2}{E - V_1} \chi &= (E - V_2)\chi. \end{aligned} \quad (14)$$

Рівняння (13) зводиться до рівняння (14) заміною

$$\varphi = -\frac{(E - V_2)}{2m} \chi. \quad (15)$$

У (13) та (14) введено нові позначення потенціалів для взаємодії в синглетному стані

$$\begin{aligned} V_1(r) &= V_0(r) + 4V_V(r) + V_S(r) - 3V_P(r) \\ V_2(r) &= V_0(r) - 2V_V(r) + V_S(r) + 3V_P(r) \\ V_3(r) &= V_0(r) - V_S(r) - V_P(r). \end{aligned} \quad (16)$$

Для триплетного спінового стану ( $S = 1$ ) систему (10) зручно переписати так:

$$\begin{aligned} (\boldsymbol{\sigma}_1 - \boldsymbol{\sigma}_2)\mathbf{p} \frac{1}{E - W_3} (\boldsymbol{\sigma}_1 - \boldsymbol{\sigma}_2)\mathbf{p} \varphi - 2m\chi &= (E - W_1)\varphi \\ (\boldsymbol{\sigma}_1 + \boldsymbol{\sigma}_2)\mathbf{p} \frac{1}{E - W_4} (\boldsymbol{\sigma}_1 + \boldsymbol{\sigma}_2)\mathbf{p} \chi - 2m\varphi &= (E - W_2)\chi. \end{aligned} \quad (17)$$

Відповідно рівняння (11) і (12) у триплетному стані мають вигляд

$$\frac{1}{E - W_2} \mathbf{Sp} \frac{4}{E - W_4} \mathbf{Sp} (E - W_1) \varphi + (\boldsymbol{\sigma}_1 - \boldsymbol{\sigma}_2) \mathbf{p} \frac{1}{E - W_3} (\boldsymbol{\sigma}_1 - \boldsymbol{\sigma}_2) \mathbf{p} \varphi + \frac{4m^2}{E - W_2} \varphi = (E - W_1) \varphi, \quad (18)$$

$$\frac{1}{E - W_1} (\boldsymbol{\sigma}_1 - \boldsymbol{\sigma}_2) \mathbf{p} \frac{1}{E - W_3} (\boldsymbol{\sigma}_1 - \boldsymbol{\sigma}_2) \mathbf{p} (E - W_2) \chi + \mathbf{Sp} \frac{4}{E - W_4} \mathbf{Sp} \chi + \frac{4m^2}{E - W_1} \chi = (E - W_2) \chi. \quad (19)$$

Спін-спінова взаємодія в (7) породжує відмінність потенціальних функцій у триплетному та синглетному спінових станах. Якщо в триплетному стані потенціальні функції

$$\begin{aligned} W_1(r) &= V_0(r) + V_S(r) + V_P(r), \\ W_2(r) &= V_0(r) + 2V_V(r) + V_S(r) - V_P(r), \\ W_3(r) &= V_0(r) + 2V_V(r) - V_S(r) + V_P(r), \\ W_4(r) &= V_0(r) + 4V_V(r) - V_S(r) + 3V_P(r), \end{aligned} \quad (20)$$

то “потенціали”  $V_0(r)$ ,  $V_V(r)$ ,  $V_S(r)$  та  $V_P(r)$  пов’язують між собою “потенціали” для синглетного та триплетних станів

$$\begin{aligned} V_1(r) &= -W_1(r) + 2W_2(r), \\ V_2(r) &= 2W_1(r) - W_2(r), \\ V_3(r) &= 2W_3(r) - W_4(r). \end{aligned} \quad (21)$$

Використовуючи вираз

$$\begin{aligned} &\frac{1}{4} (\boldsymbol{\sigma}_1 - \boldsymbol{\sigma}_2) \mathbf{p} f(r) (\boldsymbol{\sigma}_1 - \boldsymbol{\sigma}_2) \mathbf{p} \\ &= \mathbf{p} f(r) \mathbf{p} - \mathbf{Sp} f(r) \mathbf{Sp} + \left( \frac{1}{r} \frac{d}{dr} f(r) \right) \mathbf{LS}, \end{aligned} \quad (22)$$

де  $\mathbf{L}$  — оператор кутового моменту системи двох нуклонів, рівняння (18) та (19) можна переписати у зручнішій формі для подальшого застосування

$$\begin{aligned} &\mathbf{p} \frac{4}{E - W_3} \mathbf{p} \varphi - \mathbf{Sp} \frac{4}{E - W_3} \mathbf{Sp} \varphi + \frac{1}{E - W_2} \mathbf{Sp} \frac{4}{E - W_4} \mathbf{Sp} (E - W_1) \varphi \\ &+ \left( \frac{1}{r} \frac{d}{dr} \frac{4}{E - W_3} \right) \mathbf{LS} \varphi + \frac{4m^2}{E - W_2} \varphi = (E - W_1) \varphi, \end{aligned} \quad (23)$$

$$\begin{aligned} &\mathbf{p} \frac{4}{E - W_4} \mathbf{p} \chi - (\boldsymbol{\sigma}_1 - \boldsymbol{\sigma}_2) \mathbf{p} \frac{1}{E - W_4} (\boldsymbol{\sigma}_1 - \boldsymbol{\sigma}_2) \mathbf{p} \chi + \frac{1}{E - W_1} (\boldsymbol{\sigma}_1 - \boldsymbol{\sigma}_2) \mathbf{p} \frac{1}{E - W_3} (\boldsymbol{\sigma}_1 - \boldsymbol{\sigma}_2) \mathbf{p} (E - W_2) \chi \\ &+ \left( \frac{1}{r} \frac{d}{dr} \frac{4}{E - W_4} \right) \mathbf{LS} \chi + \frac{4m^2}{E - W_1} \chi = (E - W_2) \chi. \end{aligned} \quad (24)$$

Релятивістські триплетні рівняння (23) та (24) мають форму рівнянь типу Шредингера–Брейта. Зауважимо, що такі рівняння становлять собою нестандартну нелінійну спектральну задачу, де оператор кінетичної енергії модифікується залежністю від координат та повної енергії, а ефективна взаємодія також залежить від повної енергії  $E$ , яка входить через дробово-раціональні функції. Отримані рівняння містять у собі центральну потенціальну взаємодію, що корелює із взаємодією в синглетному стані (13). Тензорна та спін-орбітальна взаємодії також визначаються тими ж потенціальними функціями, причому тензорні оператори, які побудовано на операторах імпульсу та спіну нуклонів, можна поділити на два типи

$$\mathbf{Sp} f(r) \mathbf{Sp}, \quad (\boldsymbol{\sigma}_1 - \boldsymbol{\sigma}_2) \mathbf{p} f(r) (\boldsymbol{\sigma}_1 - \boldsymbol{\sigma}_2) \mathbf{p}.$$

Звернемо увагу на те, що в цій релятивістській задачі неможливо говорити про тензорну та спін-орбітальну взаємодії як про незалежні. Дійсно, з виразу (22) видно, що тензорні та спін-орбітальні сили мають єдину природу. У хвильових рівняннях з такою структурою для заданої енергії  $E$  зберігаються: повний спін  $\mathbf{S}^2$ , повний момент  $\mathbf{J}^2$  та його проекція  $J_Z$ .

Цікавою є нерелятивістська границя отриманих рівнянь. Так, рівняння для синглетного стану (13) в нерелятивістській границі переходить до звичайного рівняння Шредингера з потенціалом

$$V = \frac{V_1 + V_2}{2} = V_0 + V_S + V_V, \quad (25)$$

а поправка на релятивізм у “потенціальній енергії” залежить від швидкості і має вигляд

$$\delta V = -\frac{\mathbf{p}^4}{4m^3} + \frac{\mathbf{p}V_3\mathbf{p}}{4m^2} - \frac{[\mathbf{p}^2, V_2]_+}{4m^2} + \frac{(V_1 - V_2)^2}{16m}, \quad (26)$$

де  $[a, b]_+ = ab + ba$  — антикомутатор двох операторів.

У нерелятивістській границі рівняння для триплету (23) та (24) переходять до рівняння Шредингера з центральним потенціалом  $W$  та релятивістською поправкою до нього  $\delta W$ , яка містить у собі центральну, спін-орбітальну та тензорну взаємодії

$$\left(\frac{\mathbf{p}^2}{m} + W\right)\psi + \delta W\psi = \varepsilon\psi, \quad (27)$$

де  $\varepsilon \approx E - 2m$ . Підкреслимо, що центральний потенціал  $W$  є півсумою потенціалів  $W_1$  та  $W_2$  і збігається з потенціалом для синглетного стану,

$$W = \frac{W_1 + W_2}{2} = \frac{V_1 + V_2}{2} = V_0 + V_S + V_V, \quad (28)$$

та вказує на те, що поділ взаємодії на синглетну і триплетну має релятивістське походження. Релятивістську поправку  $\delta W$  можна зобразити у двох варіантах. Перший — отримано з рівняння (23), а другий — з (24)

$$\begin{aligned} \delta W = & -\frac{\mathbf{p}^4}{4m^3} + \frac{\mathbf{p}W_3\mathbf{p}}{2m^2} - \frac{[\mathbf{p}^2, W_2]_+}{4m^2} + \frac{(W_1 - W_2)^2}{16m} + \frac{1}{2m^2} \left(\frac{1}{r} \frac{d}{dr} W_3\right) \mathbf{L}\mathbf{S} \\ & - \frac{\mathbf{S}\mathbf{p}(W_3 - W_4)\mathbf{S}\mathbf{p}}{2m^2} - \frac{[(\mathbf{S}\mathbf{p})(\mathbf{S}\mathbf{p}), W_1 - W_2]_+}{4m^2}, \end{aligned} \quad (29)$$

$$\begin{aligned} \delta W = & -\frac{\mathbf{p}^4}{4m^3} + \frac{\mathbf{p}W_4\mathbf{p}}{2m^2} - \frac{[\mathbf{p}^2, W_1]_+}{4m^2} + \frac{(W_1 - W_2)^2}{16m} + \frac{1}{2m^2} \left(\frac{1}{r} \frac{d}{dr} W_4\right) \mathbf{L}\mathbf{S} \\ & + \frac{(\boldsymbol{\sigma}_1 - \boldsymbol{\sigma}_2)\mathbf{p}(W_3 - W_4)(\boldsymbol{\sigma}_1 - \boldsymbol{\sigma}_2)\mathbf{p}}{8m^2} + \frac{[(\boldsymbol{\sigma}_1 - \boldsymbol{\sigma}_2)\mathbf{p}(\boldsymbol{\sigma}_1 - \boldsymbol{\sigma}_2)\mathbf{p}, W_1 - W_2]_+}{16m^2}. \end{aligned} \quad (30)$$

Ці поправки не є незалежними і за допомогою виразу (22) переходять одна в одну. Хоча рівняння (23) та (24) є різними і сформульовані щодо різних хвильових функцій, релятивістські поправки з точністю до членів  $\left(\frac{v}{c}\right)^2$  збігаються. Можна взяти напівсуму цих поправок і отримати ще одну форму запису  $\delta W$ , яка характерна тим, що всі потенціальні функції  $W_i$  входять до неї симетрично

$$\begin{aligned} \delta W = & -\frac{\mathbf{p}^4}{4m^3} + \frac{\mathbf{p}(W_3 + W_4)\mathbf{p}}{4m^2} - \frac{[\mathbf{p}^2, W_1 + W_2]_+}{8m^2} + \frac{(W_1 - W_2)^2}{16m} \\ & + \frac{1}{4m^2} \left(\frac{1}{r} \frac{d}{dr} (W_3 + W_4)\right) \mathbf{L}\mathbf{S} - \frac{\boldsymbol{\sigma}_1\mathbf{p}(W_3 - W_4)\boldsymbol{\sigma}_2\mathbf{p}}{4m^2} - \frac{[(\boldsymbol{\sigma}_1\mathbf{p})(\boldsymbol{\sigma}_2\mathbf{p}), W_1 - W_2]_+}{8m^2}, \end{aligned} \quad (31)$$

де перший доданок є стандартною релятивістською поправкою до кінетичної енергії, наступні — це поправки до центральних потенціалів, спін-орбітальної та тензорної взаємодій, які залежать від імпульсу.

### III. ЗВ'ЯЗАНИЙ СТАН ДЕЙТРОНА

Розгляньмо зв'язаний стан двох нуклонів у триплетному стані (дейтрон) на основі отриманого релятивістського рівняння типу Шредингера–Брейта (23). Щоб не ускладнювати аналіз, у цій роботі будемо досліджувати триплетний стан двох нуклонів незалежно від синглетного стану. Як і в нерелятивістському підході, хвильову функцію  $\varphi$  зобразимо як суперпозицію  $S$ - та  $D$ -хвиль

$$\varphi = \frac{u(r)}{r} \mathcal{Y}_{01}^{1M} + \frac{w(r)}{r} \mathcal{Y}_{21}^{1M}, \quad (32)$$

де  $u(r)$  та  $w(r)$  — радіальні компоненти функції  $\varphi$  для  $S$ - та  $D$ -станів,  $\mathcal{Y}_{01}^{1M}$ ,  $\mathcal{Y}_{21}^{1M}$  — спін-тензори з моментом нуль та двійка. Після підстановки функції  $\varphi$  із (32) в рівняння (23) отримуємо систему двох зв'язаних радіальних диференціальних рівнянь щодо функцій  $u(r)$  та  $w(r)$

$$\begin{aligned} & -\frac{1}{r} \frac{d}{dr} r^2 \frac{4}{3(E-W_3)} \frac{d}{dr} \frac{u}{r} - \frac{1}{E-W_2} \frac{1}{r} \frac{d}{dr} r^2 \frac{8}{3(E-W_4)} \frac{d}{dr} \frac{E-W_1}{r} u + \frac{4m^2}{E-W_2} u - (E-W_1)u \\ & = -\frac{1}{r} \frac{d}{dr} \frac{1}{r} \frac{4\sqrt{2}}{3(E-W_3)} \frac{d}{dr} r^2 w + \frac{1}{E-W_2} \frac{1}{r} \frac{d}{dr} \frac{1}{r} \frac{4\sqrt{2}}{3(E-W_4)} \frac{d}{dr} r^2 (E-W_1)w, \\ & -r^2 \frac{d}{dr} \frac{1}{r^4} \frac{8}{3(E-W_3)} \frac{d}{dr} r^2 w - \frac{r^2}{E-W_2} \frac{d}{dr} \frac{1}{r^4} \frac{4}{3(E-W_4)} \frac{d}{dr} r^2 (E-W_1)w + \frac{4m^2}{E-W_2} w - (E-W_1)w \\ & = -r^2 \frac{d}{dr} \frac{1}{r} \frac{4\sqrt{2}}{3(E-W_3)} \frac{d}{dr} \frac{u}{r} + \frac{r^2}{E-W_2} \frac{d}{dr} \frac{1}{r} \frac{4\sqrt{2}}{3(E-W_4)} \frac{d}{dr} \frac{E-W_1}{r} u. \end{aligned} \quad (33)$$

Розгляньмо найпростішу модель з “потенціальними функціями” у вигляді прямокутних ям:

$$\begin{aligned} W_2(r) &= \begin{cases} W_{20} & r < r_2, \\ 0 & r > r_2, \end{cases} & W_3(r) &= \begin{cases} W_{30} & r < r_T, \\ 0 & r > r_T, \end{cases} \\ W_4(r) &= \begin{cases} W_{40} & r < r_T, \\ 0 & r > r_T, \end{cases} \end{aligned} \quad (34)$$

де радіуси потенціалів підпорядковані умові  $r_2 < r_T$ . Для неперервності хвильових функцій “потенціал”  $W_1(r)$  повинен бути також неперервним, і в цій праці ми не будемо його враховувати. Потенціал  $W_2(r)$  умовно можна назвати центральним потенціалом, і його радіус — радіусом центральних сил, а потенціали  $W_3(r)$  та  $W_4(r)$  — потенціалами тензорних сил з радіусом дії  $r_T$  — радіусом тензорних сил. Дійсно, з релятивістської поправки до рівняння Шредингера (31) виходить, що основний внесок до центральної взаємодії даватиме потенціал  $W_2(r)$ , а до тензорної взаємодії — потенціали  $W_3(r)$ ,  $W_4(r)$ . Загалом такого поділу потенціалів у (23) на центральні та тензорні нема. Звернемо увагу, що взагалі радіуси потенціалів  $W_3(r)$  та  $W_4(r)$  різні і може бути два радіуси тензорних сил.

Відзначимо, що, на відміну від феноменологічної нерелятивістської задачі з тензорним потенціалом у формі прямокутних ям, досліджувана тут релятивістська модель допускає аналітичний розв'язок. Поза межами дії ядерних сил рівняння для радіальних функцій (33) розділяються і стають незалежними,

$$\begin{aligned} \frac{d^2 u}{dr^2} - \gamma^2 u &= 0 \\ \frac{d^2 w}{dr^2} - \frac{6}{r^2} w - \gamma^2 w &= 0, \end{aligned} \quad (35)$$

і їх розв'язок можна записати так:

$$\begin{aligned} u(r) &= A_S \exp(-\gamma r), \\ w(r) &= A_D \exp(-\gamma r) \left[ 1 + \frac{3}{\gamma r} + \frac{3}{(\gamma r)^2} \right], \end{aligned} \quad (36)$$

де  $A_S$  та  $A_D$  — незалежні константи інтегрування,  $4\gamma^2 = (4m^2 - E^2)$ ,  $E = 2m - B_d$  — повна енергія двох нуклонів.

У сфері дії тензорних потенціалів  $W_4(r)$ ,  $W_3(r)$ , де  $r_2 < r < r_T$ , система (33) може бути записана як

$$\left(\frac{E}{E-W_{30}} + \frac{2E}{E-W_{40}}\right) \frac{d^2u}{dr^2} - 3\gamma^2 u = \sqrt{2} \left(\frac{E}{E-W_{30}} - \frac{E}{E-W_{40}}\right) \left(\frac{d}{dr} + \frac{3}{r}\right) \frac{dw}{dr}, \quad (37)$$

$$\left(\frac{2E}{E-W_{30}} + \frac{E}{E-W_{40}}\right) \left(\frac{d^2w}{dr^2} - \frac{6}{r^2}w\right) - 3\gamma^2 w = \sqrt{2} \left(\frac{E}{E-W_{40}} - \frac{E}{E-W_{30}}\right) \frac{d}{dr} \left(\frac{du}{dr} - \frac{3u}{r}\right).$$

Розв'язок такої системи шукаємо у вигляді

$$\begin{aligned} u(r) &= B_S \exp(-\beta r) + N_S \exp(\beta r), \\ w(r) &= B_D \exp(-\beta r) \left[1 + \frac{3}{\beta r} + \frac{3}{(\beta r)^2}\right] + N_D \exp(\beta r) \left[1 - \frac{3}{\beta r} + \frac{3}{(\beta r)^2}\right], \end{aligned} \quad (38)$$

де  $B_S$ ,  $B_D$ ,  $N_S$ ,  $N_D$  – постійні інтегрування,  $\beta$  – функція від інтенсивностей потенціалів  $W_3$ ,  $W_4$  та повної енергії  $E$ . Для знаходження коефіцієнтів  $\beta$  із (37) отримуємо однорідну систему з двох алгебраїчних рівнянь щодо  $B_S$ ,  $B_D$ :

$$\begin{aligned} \left(\frac{E}{E-W_{30}} + \frac{2E}{E-W_{40}}\right) \beta^2 B_S - 3\gamma^2 B_S &= \sqrt{2} \left(\frac{E}{E-W_{30}} - \frac{E}{E-W_{40}}\right) \beta^2 B_D, \\ \left(\frac{2E}{E-W_{30}} + \frac{E}{E-W_{40}}\right) \beta^2 B_D - 3\gamma^2 B_D &= \sqrt{2} \left(\frac{E}{E-W_{40}} - \frac{E}{E-W_{30}}\right) \beta^2 B_S, \end{aligned} \quad (39)$$

та аналогічну систему щодо  $N_S$ ,  $N_D$ . Із цих систем випливає, що з двох констант  $B_S$ ,  $B_D$  та  $N_S$ ,  $N_D$  незалежними є тільки по одній. Визначник системи (39) дає квадратне рівняння стосовно  $\beta^2$

$$\frac{E^2}{(E-W_{30})(E-W_{40})} \beta^4 - \gamma^2 \left(\frac{E}{E-W_{30}} + \frac{E}{E-W_{40}}\right) \beta^2 + \gamma^4 = 0, \quad (40)$$

розв'язок, якого легко знайти

$$\beta_{1,2}^2 = \frac{\gamma^2}{2E} \left\{ 2E - W_{30} - W_{40} \pm (E - W_{30})(E - W_{40}) \left| \frac{W_{30} - W_{40}}{(E - W_{30})(E - W_{40})} \right| \right\}. \quad (41)$$

З виразу (41) випливає, що є два різні коефіцієнти  $\beta^2$  і, відповідно, розв'язок системи (37) містить вісім констант інтегрування, причому незалежними з них є тільки чотири. Константи зв'язані між собою одним із рівнянь системи (39), наприклад, із першого рівняння отримуємо такий зв'язок:

$$B_D^{(j)} = \frac{\left(\frac{1}{E-W_{30}} + \frac{2}{E-W_{40}}\right) \beta_j^2 - \frac{3\gamma^2}{E}}{\sqrt{2} \left(\frac{1}{E-W_{30}} - \frac{1}{E-W_{40}}\right) \beta_j^2} B_S^{(j)} \equiv \eta_2^{(j)} B_S^{(j)}. \quad (42)$$

Ураховуючи сказане вище, повний розв'язок системи (37) перепишемо так:

$$\begin{aligned} u(r) &= \sum_{j=1}^2 \left\{ B_S^{(j)} \exp(-\beta_j r) + N_S^{(j)} \exp(\beta_j r) \right\}, \\ w(r) &= \sum_{j=1}^2 \eta_2^{(j)} \left\{ B_S^{(j)} \exp(-\beta_j r) \left[1 + \frac{3}{\beta_j r} + \frac{3}{(\beta_j r)^2}\right] + N_S^{(j)} \exp(\beta_j r) \left[1 - \frac{3}{\beta_j r} + \frac{3}{(\beta_j r)^2}\right] \right\}. \end{aligned} \quad (43)$$

У ділянці  $r < r_2$ , де діють як центральні, так і тензорні сили, система радіальних рівнянь (33) набирає вигляду

$$\begin{aligned} \left( \frac{E - W_{20}}{E - W_{30}} + \frac{2E}{E - W_{40}} \right) \frac{d^2 u}{dr^2} - 3 \left( \gamma^2 + \frac{EW_{20}}{4} \right) u &= \sqrt{2} \left( \frac{E - W_{20}}{E - W_{30}} - \frac{E}{E - W_{40}} \right) \left( \frac{d}{dr} + \frac{3}{r} \right) \frac{dw}{dr}, \\ \left( 2 \frac{E - W_{20}}{E - W_{30}} + \frac{E}{E - W_{40}} \right) \left( \frac{d^2 w}{dr^2} - \frac{6w}{r^2} \right) - 3 \left( \gamma^2 + \frac{EW_{20}}{4} \right) w &= \sqrt{2} \left( \frac{E - W_{20}}{E - W_{30}} - \frac{E}{E - W_{40}} \right) \frac{d}{dr} \left( \frac{du}{dr} - \frac{3u}{r} \right). \end{aligned} \quad (44)$$

Обмежений у нулі розв'язок є таким:

$$\begin{aligned} u(r) &= \sum_{j=1}^2 C_S^{(j)} \sin(\alpha_j r), \\ w(r) &= \sum_{j=1}^2 \eta_1^{(j)} C_S^{(j)} \left\{ \left( \frac{3}{(\alpha_j r)^2} - 1 \right) \sin(\alpha_j r) - \frac{3}{\alpha_j r} \cos(\alpha_j r) \right\}, \end{aligned} \quad (45)$$

де  $\alpha_j$  — функції потенціалів та повної енергії,  $C_S^{(j)}$  — постійні інтегрування,

$$\alpha_{1,2}^2 = \frac{- \left( \gamma^2 + \frac{EW_{20}}{4} \right) \left( \frac{E - W_{20}}{E - W_{30}} + \frac{E}{E - W_{40}} \right) \pm \left| \left( \gamma^2 + \frac{EW_{20}}{4} \right) \left( \frac{E - W_{20}}{E - W_{30}} - \frac{E}{E - W_{40}} \right) \right|}{\frac{E - W_{20}}{E - W_{30}} \frac{2E}{E - W_{40}}}, \quad (46)$$

$$C_D^{(j)} = - \frac{\left( \frac{E - W_{20}}{E - W_{30}} + \frac{2E}{E - W_{40}} \right) \alpha_j^2 + 3 \left( \gamma^2 + \frac{EW_{20}}{4} \right)}{\sqrt{2} \left( \frac{E - W_{20}}{E - W_{30}} - \frac{E}{E - W_{40}} \right) \alpha_j^2} C_S^{(j)} \equiv \eta_1^{(j)} C_S^{(j)}. \quad (47)$$

Повний розв'язок рівнянь (33) для всіх  $r$  можна записати компактно через сферичні функції Бесселя та Ганкеля

$$u(r) = \begin{cases} \sum_{j=1}^2 C_S^{(j)} \alpha_j r j_0(\alpha_j r), & r < r_2, \\ \sum_{j=1}^2 \beta_j r \left[ -B_S^{(j)} h_0^{(1)}(i\beta_j r) + N_S^{(j)} h_0^{(2)}(i\beta_j r) \right], & r_2 < r < r_T, \\ -A_S \gamma r h_0^{(1)}(i\gamma r), & r > r_T, \end{cases} \quad (48)$$

$$w(r) = \begin{cases} \sum_{j=1}^2 \eta_1^{(j)} C_S^{(j)} \alpha_j r j_2(\alpha_j r), & r < r_2, \\ \sum_{j=1}^2 \eta_2^{(j)} \beta_j r \left[ B_S^{(j)} h_2^{(1)}(i\beta_j r) - N_S^{(j)} h_2^{(2)}(i\beta_j r) \right], & r_2 < r < r_T, \\ A_D \gamma r h_2^{(1)}(i\gamma r), & r > r_T. \end{cases} \quad (49)$$

В околі точки  $r = 0$  функції  $u(r)$  та  $w(r)$  ведуть себе за законом  $u(r) \sim r$ ,  $w(r) \sim r^3$ . Зауважимо, що повні радіальні функції  $R_S(r) = u(r)/r$  та  $R_D(r) = w(r)/r$  є сумою сферичних функцій Бесселя та Ганкеля першого та другого роду.

У точці розриву потенціалу  $W_2$  функції  $u(r)$  та  $w(r)$  є неперервними разом зі своїми першими похідними

$$u \Big|_{r_2-0}^{r_2+0} = 0, \quad w \Big|_{r_2-0}^{r_2+0} = 0,$$



$$\left. \frac{du}{dr} \right|_{r_2-0}^{r_2+0} = 0, \quad \left. \frac{dr^2 w}{dr} \right|_{r_2-0}^{r_2+0} = 0. \quad (50)$$

Неперервність хвильових функцій та їх перших похід-

них у точці  $r_2$  зумовлена тим, що потенціали  $W_3(r)$  та  $W_4(r)$  в околі цієї точки є константами і, відповідно, їх можна винести за знак похідної. У точці розриву тензорних потенціалів  $r_T$  хвильові функції задовольняють умови

$$\begin{aligned} u \Big|_{r_T-0}^{r_T+0} = 0, \quad w \Big|_{r_T-0}^{r_T+0} = 0, \\ \left\{ \frac{E}{E - W_{30}} \left[ r^3 \frac{d}{dr} \frac{u}{r} - \sqrt{2} \frac{d}{dr} r^2 w \right] + \frac{E}{E - W_{40}} \left[ 2r^3 \frac{d}{dr} \frac{u}{r} + \sqrt{2} \frac{d}{dr} r^2 w \right] \right\} \Big|_{r_T-0} = 3r^3 \frac{d}{dr} \frac{u}{r} \Big|_{r_T+0}, \\ \left\{ \frac{E}{E - W_{30}} \left[ \sqrt{2} r^3 \frac{d}{dr} \frac{u}{r} - 2 \frac{d}{dr} r^2 w \right] - \frac{E}{E - W_{40}} \left[ \sqrt{2} r^3 \frac{d}{dr} \frac{u}{r} + \frac{d}{dr} r^2 w \right] \right\} \Big|_{r_T-0} = -3 \frac{d}{dr} r^2 w \Big|_{r_T+0}. \end{aligned} \quad (51)$$

У результаті маємо вісім констант інтегрування та вісім граничних умов для хвильових функцій, підставкою яких у ці умови отримуємо однорідну систему трансцендентних рівнянь щодо невідомих констант. Із умови, що визначник цієї системи є нулем, маємо секулярне рівняння для знаходження енергії зв'язаного стану дейтрона.

Відшукані явні хвильові функції дають змогу досить просто розрахувати всі фізичні характеристики зв'язаного стану дейтрона. Зауважимо, що загалом усі середні потрібно рахувати на повній хвильовій функції (8), хоча це пов'язано з певними труднощами. Цю доволі складну проблему в нашій статті ми не будемо докладніше обговорювати і тому рівняння (23) розглядатимемо як основне вихідне рівняння для триплетного стану.

Усі визначення середніх величин для дейтрона збігаються зі стандартними визначеннями у феноменологічних підходах. Так, квадрупольний момент буде

$$Q_d = \frac{1}{20} \int_0^\infty dr r^2 w(r) \left[ \sqrt{8} u(r) - w(r) \right], \quad (52)$$

середньоквадратичний радіус

$$r_d = \frac{1}{2} \left\{ \int_0^\infty dr r^2 [u^2(r) + w^2(r)] \right\}^{1/2} \quad (53)$$

та ймовірність  $D$ -стану

$$P_D = \int_0^\infty dr w^2(r). \quad (54)$$

При цьому хвильові функції нормовано стандартно

$$\int_0^\infty dr [u^2(r) + w^2(r)] = 1. \quad (55)$$

У нашому випадку рівняння (33) з потенціалами (34) містять п'ять незалежних параметрів: глибину та радіус дії кожного з потенціалів  $W_2(r)$ ,  $W_3(r)$ ,  $W_4(r)$  (радіуси останніх двох потенціалів збігаються). Якщо відновити фундаментальні сталі  $\hbar$  та  $c$  в розглянутих рівняннях, то в усіх розрахунках використано  $\hbar c = 197.327053 \text{ MeV Fm}$ , а чисельне значення для константи  $\gamma$  в (35)

$$\gamma = 0.231538 \text{ Fm}^{-1}, \quad (56)$$

розраховано за заданою експериментальною енергією зв'язку дейтрона  $B_d = 2.224575(9) \text{ MeV}$  [13]. Для інших фізичних характеристик використано значення: квадрупольний момент  $Q_d = 0.2859(3) \text{ Fm}^2$  [14] та радіус дейтрона  $r_d = 1.9547(19) \text{ Fm}$  [15]. У результаті опису цих даних знайдено такі параметри потенціалів для (34):

$$\begin{aligned} W_{20} &= -98.631 \text{ MeV}, \quad r_2 = 1.8 \text{ Fm}; \\ W_{30} &= -875.019 \text{ MeV}, \\ W_{40} &= 894.999 \text{ MeV}, \quad r_T = 3.0 \text{ Fm}. \end{aligned} \quad (57)$$

Як видно, інтенсивності потенціалів  $W_3(r)$  та  $W_4(r)$  приблизно збігаються з масою нуклона і на порядок більші, ніж інтенсивність потенціалу  $W_2(r)$ , а радіус дії — більший, приблизно, на один фермі. Якщо взяти до уваги поправку до нерелятивістського потенціалу (31), то видно, що саме функції  $W_3(r)$  та  $W_4(r)$  дають основний внесок до тензорної та спін-орбітальної взаємодії, і ці потенціальні функції умовно можна назвати тензорними потенціалами. Водночас потенціал  $W_2(r)$  (як і  $W_1(r)$ ), в основному, відповідає за центральну взаємодію.

На рис. 1 зображено розраховані для побудованих "потенціалів" взаємодії з параметрами (57) радіальні хвильові функції дейтрона  $u(r)$  і  $w(r)$ . Функція  $u(r)$

досягає свого максимального значення приблизно в точці  $r = 1.61$  Fm і дорівнює  $0.529$  Fm $^{-1/2}$ , а максимальне значення функції  $w(r)$  дорівнює  $0.135$  Fm $^{-1/2}$  при значно більшій відстані  $r = r_T = 3.0$  Fm. У точці  $r = r_T$  розриву тензорних “потенціалів” хвильові функції мають “надлом”. Водночас у точці розриву потенціалу  $W_2(r)$  подібного “надлому” в точці  $r_2$  не спостерігаємо, оскільки хвильові функції в цій точці неперервні разом зі своїми першими похідними (50). Для параметрів (57) визначено: енергію зв’язку дейтрона  $B_d = 2.224575$  MeV, квадрупольний момент  $Q_d = 0.2860$  Fm $^2$ , радіус дейтрона  $r_d = 1.9549$  Fm та ймовірність  $D$ -стану  $P_D = 0.035$ . Основний внесок до значення квадрупольного моменту дає хвильова функція за межами дії ядерних сил  $Q_d^{\text{out}} = 0.227329$  Fm $^2$ , а в межах дії ядерних сил для квадрупольного моменту маємо  $Q_d^{\text{in}} = 0.058719$  Fm $^2$ . Для ймовірності  $D$ -стану основний внесок дає ділянка біля максимуму  $D$ -хвилі, при цьому внесок у  $P_D$  приблизно однаковий як у межах дії потенціалів, так і поза межами  $P_D^{\text{out}} = 0.015$ ,  $P_D^{\text{in}} = 0.020$ .

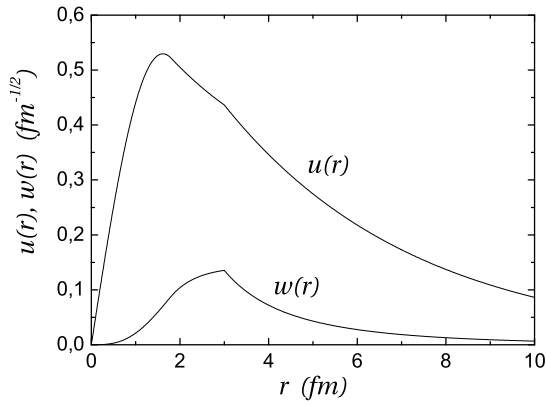


Рис. 1. Радіальні хвильові функції в  $S$ - і  $D$ -станах для прямокутних “потенціалів” з параметрами (57).

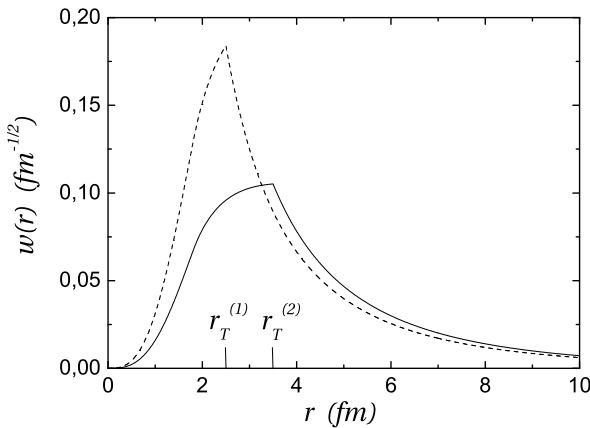


Рис. 2. Залежність функції  $w(r)$  для двох різних значень радіуса тензорних сил  $r_T^{(1)} = 2.5$  Fm та  $r_T^{(2)} = 3.5$  Fm

Через те, що пригінка п’ятьох параметрів потенціалів проводилась тільки за трьома експериментальними параметрами (енергія зв’язку, квадрупольний момент і радіус дейтрона), то вона не є однозначною. Наприклад, на рис. 2 зображено залежність хвильової функції  $w(r)$  для двох різних радіусів дії тензорних сил  $r_T^{(1)} = 2.5$  Fm та  $r_T^{(2)} = 3.5$  Fm із значенням  $P_D = 0.049$  та  $P_D = 0.027$  відповідно. Основні характеристики дейтрона, які було розраховано за цими параметрами, також збігаються з експериментальними. Як видно, величина  $P_D$  залежить від значення радіуса дії тензорних сил і швидко зростає зі зменшенням  $r_T$ . При  $r > r_T$  ці криві практично збігаються, а поблизу нуля вони пропорційні  $r^3$ . Відзначимо, що функція  $w(r)$  має максимальне значення строго в точці розриву тензорних потенціалів.

Для параметрів потенціалів (57) коефіцієнти  $\eta_i^{(j)}$  у (42) та (47), які пов’язують між собою константи інтегрування для  $S$ - та  $D$ -хвиль у внутрішніх ділянках, мають такі значення:

$$\begin{aligned} \eta_1^{(1)} &= \sqrt{2}, & \eta_1^{(2)} &= -\frac{1}{\sqrt{2}}, \\ \eta_2^{(1)} &= -\sqrt{2}, & \eta_2^{(2)} &= \frac{1}{\sqrt{2}}. \end{aligned} \quad (58)$$

Можна показати, що і загалом для будь-яких параметрів потенціалів у формі прямокутних ям ці коефіцієнти можуть приймати тільки значення  $\pm\sqrt{2}$  чи  $\pm\frac{1}{\sqrt{2}}$ . Для коефіцієнта  $\eta \equiv \frac{A_D}{A_S}$  можна отримати вираз

$$\eta = \frac{w(r_T)}{u(r_T)} \left[ 1 + \frac{3}{\gamma r_T} + \frac{3}{(\gamma r_T)^2} \right]^{-1}, \quad (59)$$

якщо врахувати, що радіальні рівняння в зовнішній ділянці розділяються і стають незалежними. Чисельний розрахунок дає

$$\eta = 0.026897. \quad (60)$$

Константи  $A_S$  та  $A_D$  знаходимо за формулами

$$\begin{aligned} A_S &= -\frac{u(r_T)}{\gamma r_T h_0^{(1)}(i\gamma r_T)}, \\ A_D &= \frac{w(r_T)}{\gamma r_T h_2^{(1)}(i\gamma r_T)}, \end{aligned} \quad (61)$$

і вони приймають значення

$$A_S = 0.8744235 \text{ Fm}^{-1/2},$$

$$A_D = 0.023514 \text{ Fm}^{-1/2}. \quad (62)$$

За знайденими точними розв'язками хвильових функцій для основного стану дейтрона можна побудувати структурну функцію дейтрона (див. [16])

$$A(q) = G_C^2(q) + \frac{8}{9}\eta^2 G_Q^2 + \frac{2}{3}\eta(1+\eta)G_M^2(q), \quad (63)$$

де  $\eta = \frac{q^2}{4M_d^2}$ . Тут перший доданок у (63) є зарядовою структурною функцією, другий доданок визначається квадрупольною структурною функцією, а третій — квадратом магнетного формфактора.

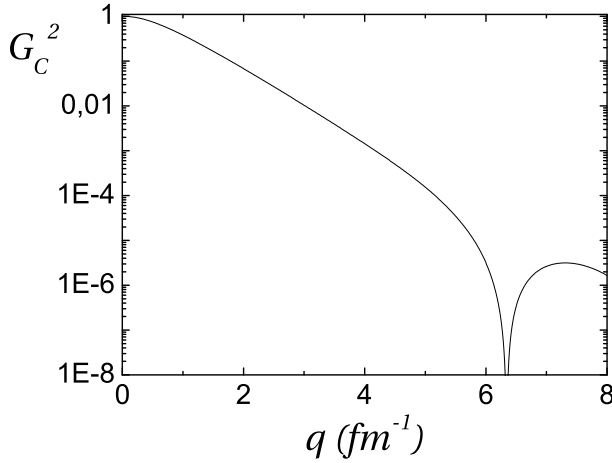


Рис. 3. Зарядовий формфактор релятивістського дейтрона з прямокутними потенціалами.

На рис. 3 зображено перший доданок структурної функції  $A(q)$ , що відповідає розподілу заряду в дейтроні. У наближенні точкових нуклонів це є квадрат формфактора розподілу заряду

$$G_C(q) = \int_0^\infty dr j_0\left(\frac{qr}{2}\right) [u^2(r) + w^2(r)]. \quad (64)$$

Поведінка електричного формфактора дейтрона  $G_C(q)$  залежно від переданого імпульсу якісно збігається з феноменологічною поведінкою, коли враховується феноменологічний тензорний потенціал взаємодії. У нашому випадку при  $q \approx 6.4 \text{ Fm}^{-1}$  спостерігаємо “провал”, який зумовлений відштовхуванням на малих відстанях за рахунок функцій  $W_3(r)$  та  $W_4(r)$ . Аналогічні “провали” бачимо і при більших переданих імпульсах  $q$ , приблизно через однаковий інтервал, порядку  $3 \text{ Fm}^{-1}$ . Імовірно, що природа таких провалів зумовлена розривністю вибраних потенціальних фун-

кцій взаємодії. Цікаво, що положення таких провалів чутливе до параметрів потенціальних функцій. При зміні параметрів потенціалів деякі провали зникають і можуть утворюватися скінченні мінімуми структурної функції  $G_C^2(q)$ .

#### IV. ВИСНОВКИ

Формулювання й дослідження стаціонарних релятивістських рівнянь типу Шредингера–Брейта в межах методу прямих взаємодій Дірака–Брейта для двох нуклонів у синглетному та триплетному спінових станах дало змогу врахувати різноманітні релятивістські ефекти. Отримані стаціонарні рівняння для двох діракових частинок є релятивістським узагальненням рівняння Шредингера. Такі рівняння містять модифікований оператор кінетичної енергії, який залежить від повної енергії та координат через певні потенціальні функції. Крім того, вони враховують центральну, спін-орбітальну та тензорну взаємодії, що залежать від відстані, швидкості та ще й від повної енергії, яка входить до рівняння через дробово-раціональні функції. У цьому підході тензорна та спін-орбітальна взаємодії є проявом релятивістських ефектів і породжені одними й тими ж потенціальними функціями. Оскільки тензорна взаємодія в отриманих рівняннях побудована на операторах спіну частинок та відносно-го імпульсу системи двох нуклонів, то такий оператор можна розглядати не тільки як поправку до потенціалу взаємодії, але і як релятивістську поправку до кінетичної енергії.

Запис тензорного оператора через імпульси в релятивістському двочастинковому рівнянні є природнішим, ніж через координати частинок, і дає змогу, на відміну від нерелятивістського підходу, у випадку “потенціалів” прямокутної форми отримати явний аналітичний розв'язок. Удалось отримати повний узгоджений опис усіх основних характеристик зв'язаного стану дейтрона. Установлено певні кореляційні закономірності між розміром, квадрупольним моментом та ймовірністю  $D$ -стану дейтрона.

Опис синглетного розсіяння двох нуклонів в [11] та триплетного зв'язаного стану дейтрона в нашій статті показує, що інтенсивності для потенціальних функцій, які входять до операторів кінетичної енергії та тензорних операторів, набувають значень порядку маси нуклона, що вказує на суттєвий релятивізм тензорної та спін-орбітальної взаємодій і значну модифікацію кінетичної енергії.

Важливою проблемою і далі є можливість одночасного опису всіх характеристик двонуклонного розсіяння в синглетному та триплетному станах і повному енергетичному інтервалі та поширення підходу Дірака–Брейта на багатонуклонні системи. Цікавою є можливість застосовувати цей підхід з прямими взаємодіями до двокваркових систем для опису структури мезонних спектрів.

- [1] K. E. Lassila, M. H. Jr. Hull, H. M. Ruppel, F. A. Mc Donald, G. Breit, Phys. Rev. **126**, 881 (1962).  
 [2] M. Lacombe, B. Loiseau, J. M. Richard, R. Vinh-Mau, Phys. Rev. C **21**, 861 (1980).  
 [3] R. Machleidt, K. Holinde, Ch. Elster, Phys. Rep. **149**, (1987).  
 [4] R. Machleidt, Phys. Rev. C **63**, 024001 (2001).  
 [5] В. А. Карманов, ЭЧАЯ, **19**, вып. 3, 525 (1988).  
 [6] Р. П. Гайда, ЭЧАЯ, **13**, вып. 2, 427 (1982).  
 [7] Р. П. Гайда, Ю. Б. Ключковский, В. И. Третьяк, Теор. мат. физ. **44**, 194 (1980); Теор. мат. физ. **45**, 180 (1980).  
 [8] J. W. Darewych, A. G. Sitenko, I. V. Simenog, A. I. Sitenchenko, Phys. Rev. C **47**, 1885 (1993).  
 [9] А. Ю. Корчин, А. В. Шебеко, Яд. физ. **56**, вып. 12, 77 (1993).  
 [10] H. A. Bethe, E. E. Salpeter, *Quantum mechanics of One- and Two-Electron Atoms* (Springer Verlag, Berlin, 1957).  
 [11] І. В. Сименюг, О. І. Туровський, Укр. фіз. журн. **46**, 391 (2001).  
 [12] І. В. Сименюг, О. І. Туровський, Укр. фіз. журн. **48**, 210 (2003).  
 [13] C. van der Leun, C. Alderlisten, Nucl. Phys. A **380**, 261 (1982).  
 [14] D. M. Bishop, L. M. Cheung, Phys. Rev. A **20**, 381 (1979); T. E. O. Ericson, M. Rosa-Clot, Nucl. Phys. A **405**, 497 (1983).  
 [15] Mustafa M. Mustafa, Phys. Rev. C **48**, 929 (1993).  
 [16] А. И. Ахиезер, А. Г. Ситенко, В. К. Тартаковский, *Электродинамика ядер* (Наукова думка, Киев, 1989).

### THE MODEL OF DEUTERON IN DIRAC–BREIT APPROACH WITH DIRECT INTERACTION

I. V. Simenog, A. I. Turovsky

*Bogolyubov Institute for Theoretical Physics, National Academy of Sciences of Ukraine  
 14b Metrolohichna St., Kyiv, UA-03143, Ukraine*

The second-order partial Schrödinger–Breit equations are obtained for two relativistic nucleons with direct potential interaction in the triplet spin state. New continuity relations for wave functions are derived for the case of discontinuous potentials. There are not only central but also tensor interactions of the relativistic nature in the investigated relativistic model. The exact solutions for triplet state of two nucleons with the potential in the form of rectangular wells are received. The model of the deuteron ground state is introduced on the basis of the triplet relativistic equations with potential functions in the form of the rectangular wells, where the consistent explanation of essential deuteron experimental parameters is obtained.